

**МЕХАНИКА
ТВЕРДОГО ТЕЛА**
№ 4 · 1989

УДК 539.375

Р. В. ГОЛЬДШТЕЙН, Т. М. МОРОЗОВА, Б. Р. ПАВЛОВСКИЙ

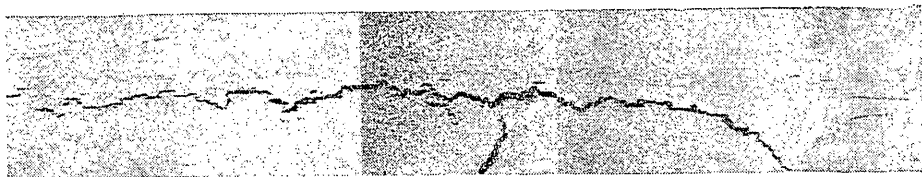
**МОДЕЛЬ ВОЗНИКНОВЕНИЯ СТРУКТУР РАЗРУШЕНИЯ
В СТАЛЯХ ПРИ НАВОДОРОЖИВАНИИ¹**

Предлагается модель формирования систем трещин, возникающих при эксплуатации трубопроводов из низколегированных сталей низкой и средней прочности в присутствии сероводородсодержащей среды с учетом прочностной анизотропии металла. Модель опирается на анализ полей напряжений в плоской задаче теории упругости о прямолинейном разрезе, расположенному вблизи границы полуплоскости, на берега которого действует нормальное давление:

1. Введение. Разрушение структурированных материалов не всегда происходит путем образования и развития одиночной макротрецнини. В ряде случаев особенности структуры и напряженного состояния приводят к формированию систем микро — или макротрецнин — структур разрушения. Структуры разрушения наблюдаются в слоистых, пористых, волокнистых материалах. Некоторые закономерности их образования рассмотрены [1—3]. Образование систем трещин может оказывать двоякое влияние на развитие процесса разрушения. С одной стороны, системы микротрецнин, которые образуются в концевой зоне макротрецнини приводят к эффективному повышению трещиностойкости материала [4]. С другой стороны, процесс разрушения может представлять собой развитие упорядоченной системы микротрецнин без образования единой макротрецнини вплоть до финальной стадии разрушения. При этом размеры участков, где имеются системы дискретных трещин и произошло их слияние могут быть сравнимы по масштабу. Такой вид разрушения реализуется в конструкциях из низколегированных сталей низкой и средней прочности, содержащих исходные расслоения или зоны с пониженными прочностными свойствами, в которых они легко образуются в процессе наводороживания металла. Указанные материалы имеют анизотропию параметров микропрочности, причем водород может изменять их значения, усугубляя анизотропию. Конструкции, о которых в первую очередь идет речь (трубопроводы и сосуды давления), работают в условиях совместного действия механической нагрузки (внутреннее давление) и водородной нагрузки, которая проявляется в виде давления водорода, скапливающегося в полостях, дефектах, порах [5—7]. Геометрия образующихся при этом систем микротрецнин определяется особенностями поля напряжений, которое возникает в элементе конструкции под действием обоих видов нагрузки, распределением и прочностью связи с матрицей микроструктурных элементов, имеющихся в металле. Опыт показывает, что в этих условиях образуются две характерные структуры разрушения (фиг. 1).

Для количественного описания условий формирования той или иной системы трещин в данной работе анализируются поля напряжений, создаваемые отдельной макротрецниной (расслоением) в элементе конструкции на расстояниях характерных для распределения микроструктурных составляющих металла.

¹ Работа является изложением доклада на II Всесоюзном симпозиуме по механике разрушения. Житомир, 1985 г.



Фиг. 1

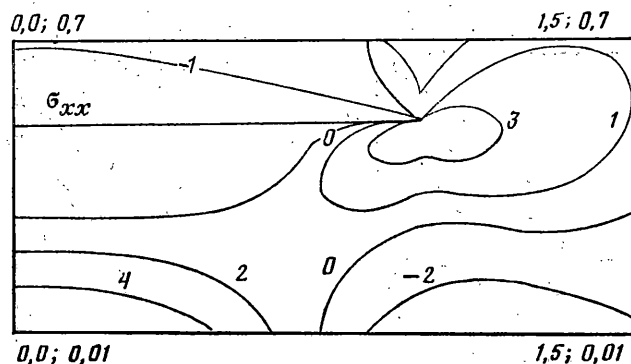
Из анализа напряженного состояния следует, что переход от одной структуры разрушения к другой происходит при определенных размерах зоны расслоения, глубины ее залегания, когда наряду с областью концентрации напряжений в концевой зоне расслоения, возникает область повышенных растягивающих напряжений в районе средней части расслоения у ближайшей к нему поверхности элемента конструкции.

В пункте 2 приведено описание экспериментальных данных, формулируется постановка задачи теории упругости и приводятся формулы для напряжений, обусловленных наличием криволинейного разреза вблизи поверхности. Затем (пункт 3) проведен численный анализ полей напряжений и получены оценки параметров структур разрушения. Отметим, что ступенчатые системы трещин, образующиеся при наводороживании малоуглеродистых низколегированных сталей, описаны в [7], где высказано предположение о том, что возникновение системы трещин связано с действием сдвиговых напряжений, количественная модель в [7] отсутствует.

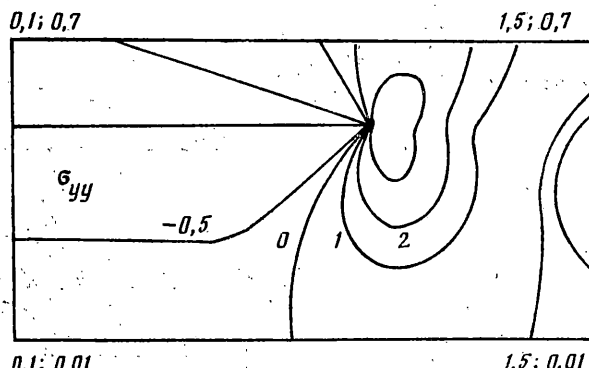
2. Постановка модельной задачи. На фиг. 1 показаны две реально наблюдаемые структуры разрушения. Процесс разрушения происходит, как показывает анализ поведения конструкций в реальных условиях, а также в лабораторных и стендовых экспериментах, в несколько стадий. На начальной стадии формируется макротрещина, развитие которой идет по зоне с пониженной трещиностойкостью, обычно в средней трети по толщине листа, приуроченной к его ликвационной зоне. Затем по мере достижения этой трещиной определенного характерного размера относительно глубины ее залегания, начинают формироваться структуры разрушения либо в виде прорыва (трещины) со стороны поверхностей листа, который направлен перпендикулярно первоначальной трещине и находится под ее средней частью, либо в виде выходящего на поверхность эшелона микротрещин, ось которого образует острый угол с плоскостью прокатки. Анализ шлифов и рельефа реальных поверхностей разрушения показывают, что поверхность разрушения имеет вид террасок с высотой ступенек от десятых и сотых долей мм до 1–2 мм и длиной до нескольких мм (в отдельных случаях до 10 мм). При построении модели формирования этих структур рассмотрим случай несимметричного расположения исходной трещины в листе, когда влияние ближайшей границы является определяющим. При этом вместо разреза в полосе можно рассматривать трещину в полу平面ости [8, 9]. Для анализа напряженного состояния в полу平面ости с модельной прямолинейной трещиной, расположенной под ее границей, воспользуемся результатами решения задачи теории упругости о криволинейном разрезе L , расположенном вблизи границы полу平面ости, берега которого находятся под действием самоуравновешенных нагрузок [9]. Пользуясь выражениями для комплексных потенциалов Колосова – Мусхелишвили для этой задачи, получим следующие формулы, связывающие напряжения σ_{xx} , σ_{xy} , σ_{yy} с производными от скачков смещений $[du_i/d\tau] = b_i(\tau)(1-\tau^2)^{-1/2}$ ($i=x, y$), которые имеют корневую особенность на концах трещины

$$\sigma_{xx}(z) = 2 \operatorname{Re} \Phi(z) - \operatorname{Re} [\bar{z} \Phi'(z) + \Psi(z)] \quad (1.1)$$

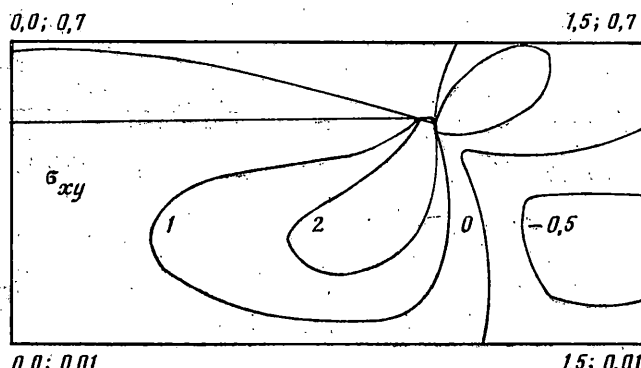
$$\sigma_{yy}(z) = 2 \operatorname{Re} \Phi(z) + \operatorname{Re} [\bar{z} \Phi'(z) + \Psi(z)], \quad \sigma_{xy}(z) = -\operatorname{Im} [\bar{z} \Phi'(z) + \Psi(z)]$$



Фиг. 2



Фиг. 3

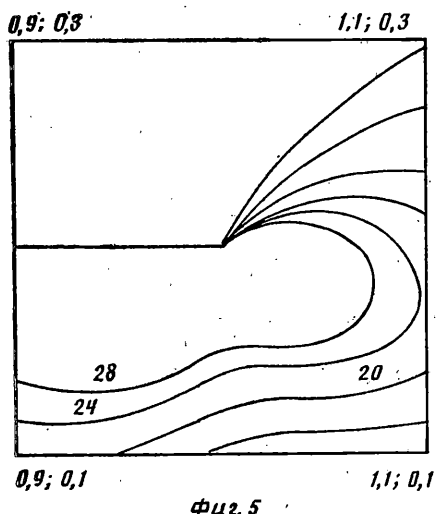


Фиг. 4

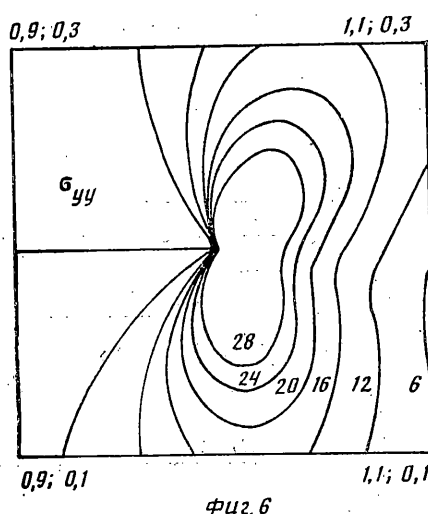
$$\begin{aligned} \sigma_{xx}(z) = & \frac{\mu}{\pi(\kappa+1)} \int_{-1}^1 \{ b_x(\tau) (1-\tau^2)^{-\frac{\kappa}{2}} [-2wu^{-1} - 4f^2wu^{-2} - \\ & -va^{-4} - 2(f^2v + y(\tau)(f^2-v^2))a^{-2} + 4y(\tau)y(3f^2v-v^3)a^{-3}] + \\ & + b_y(\tau)(1-\tau^2)^{-\frac{\kappa}{2}} [2fu^{-1} - 4fw^2u^{-2} - fa^{-1} - 2(wf + 4y(\tau)fv)a^{-2} - \end{aligned} \quad (1.2)$$

$$\begin{aligned} & -4y(\tau)y(f^3 - 3fv^2)a^{-3}] \} d\tau \end{aligned}$$

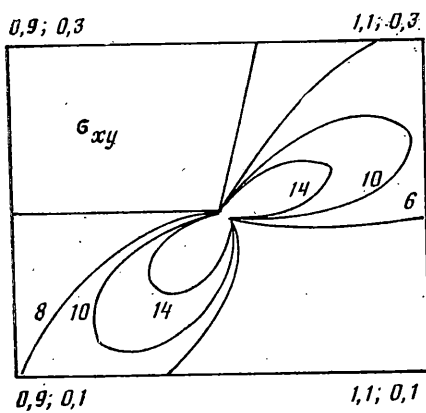
$$\begin{aligned} \sigma_{xy}(z) = & \frac{\mu}{\pi(\kappa+1)} \int_{-1}^1 \{ b_x(\tau) (1-\tau^2)^{-\frac{\kappa}{2}} [-fu^{-1} + 2fwu^{-2} - 0,5fa^{-1} + \end{aligned}$$



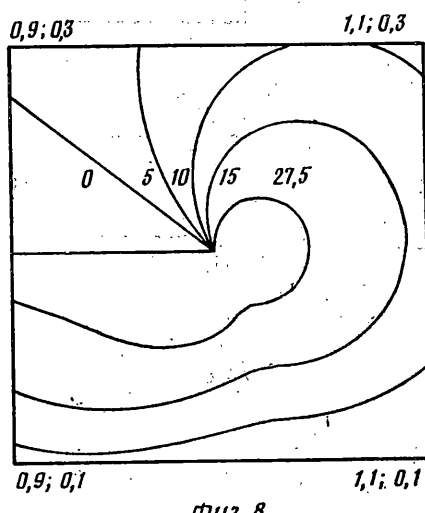
фиг. 5



фиг. 6



фиг. 7



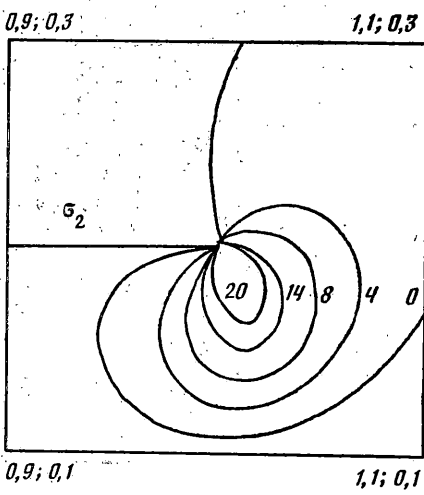
фиг. 8

$$\begin{aligned}
 & +0,5(f^3 - 3fv^2)a^{-2} + 4y(\tau)y(f^3 - 3fv^2)a^{-3}] \\
 & + b_y(\tau)(1-\tau^2)^{-\frac{1}{2}}[-wu^{-1} + 2w^3u^{-2} + 0,5va^{-1} + 0,5(2f^2w - f^2v - v^3 - 2v^2w)a^{-2} + \\
 & + 4y(\tau)y(v^3 - 3f^2v)a^{-3}]\}d\tau \quad (1.3)
 \end{aligned}$$

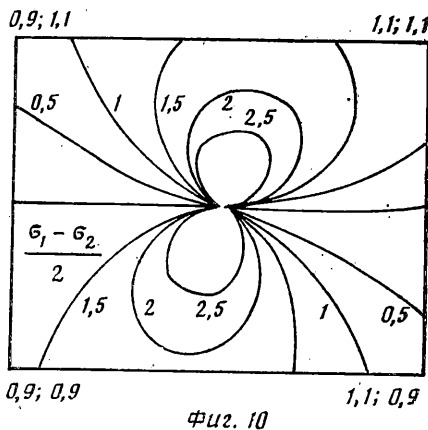
$$\begin{aligned}
 \sigma_{yy}(z) = & \frac{\mu}{\pi(\kappa+1)} \int_{-1}^1 \{ b_x(\tau)(1-\tau^2)^{-\frac{1}{2}}[-wu^{-1} + 2f^2w + 0,5va^{-1} + \\
 & + 0,5(v^3 - f^2v - 2f^2 + 2v^2w)a^{-2} - 4y(\tau)y(3f^2v - v^3)a^{-3}] + \\
 & + b_y(\tau)(1-\tau^2)^{-\frac{1}{2}}[fu^{-1} + 2w^2fu^{-2} - 2,5fa^{-1} + 0,5(3f^3 - v^2f)a^{-2} + \\
 & + 4y(\tau)y(f^3 - 3v^2f)a^{-3}]\}d\tau \quad (1.4)
 \end{aligned}$$

$$\begin{aligned}
 f &= x(\tau) - x, \quad w = y(\tau) - y, \quad v = y(\tau) + y \\
 a &= f^2 + v^2, \quad u = f^2 + w^2, \quad z = x + iy
 \end{aligned}$$

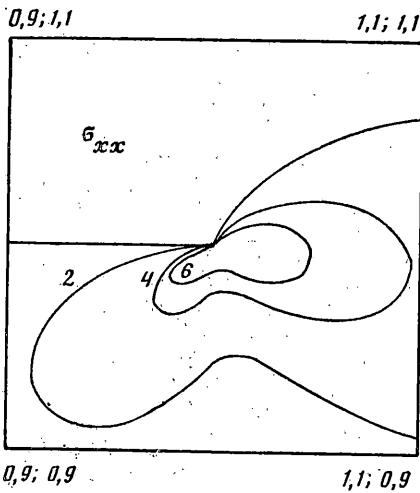
Определив значения производных от скачков смещений из численного решения системы сингулярных интегральных уравнений [9], можно найти поля напряжений для рассматриваемой задачи в результате численного интегрирования формул (1.2) – (1.4). Интегрирование проводилось по квадратурным формулам Гаусса – Чебышева. Проводился численный анализ модельной задачи о прямой трещине, удаленной на расстоянии H



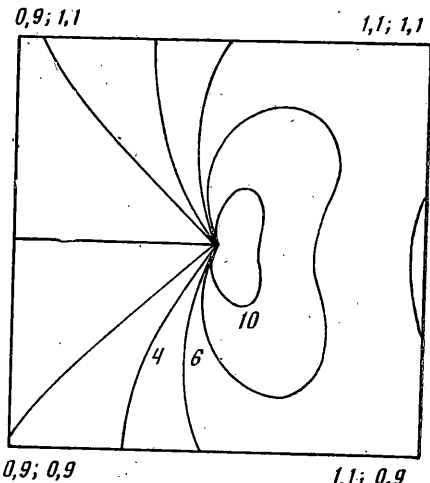
Фиг. 9



Фиг. 10



Фиг. 11

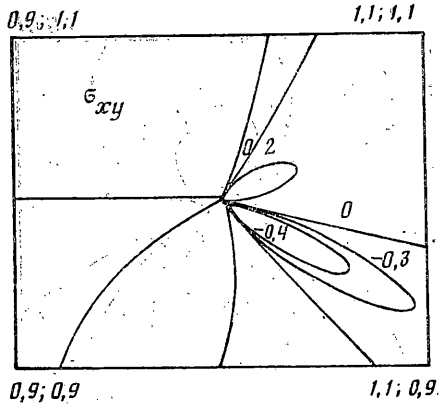


Фиг. 12

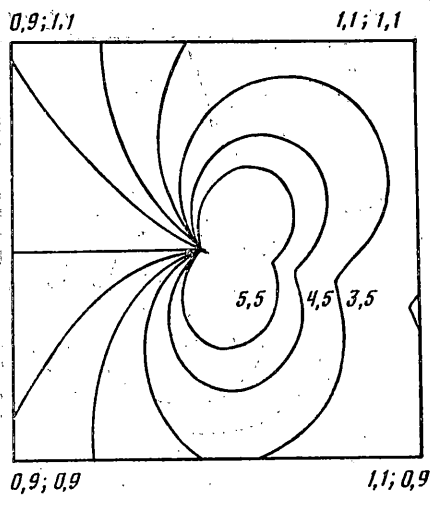
от границы, когда на ее берега действует нормальное давление. Оценка точности численного счета проводилась для задачи о плоскости, содержащей прямолинейный разрез и находящейся в условиях однородного рас-tяжения на бесконечности. Сравнение с аналитическим вычислением напряжений на продолжении прямолинейного разреза показало, что на расстояниях $r/l \geq 0,01$ от вершины отличие не превышало 1%. Эпюры изолиний главных напряжений для этой задачи полностью совпали с полученными в [10].

3. Результаты расчетов. Приведем результаты счета для следующих соотношений параметров: а) $H/l=1$; б) $H/l=0,5$; в) $H/l=0,2$, моделирующих процесс разрушения, когда трещина расположена далеко от границы (а), с учетом влияния границы (в) и промежуточный случай (б). Эпюры напряжений представлены на фиг. 2–16. Анализ эпюр позволяет выделить следующие важные для объяснения закономерностей формирования структур разрушения особенности полей напряжений.

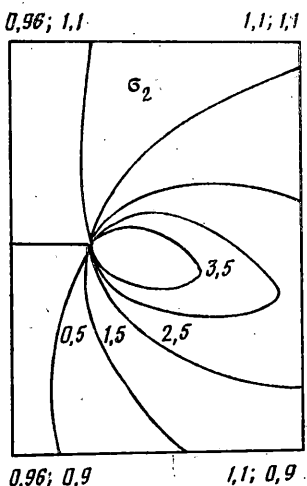
1. Кроме зоны концентрации напряжений σ_{xx} , σ_{yy} , σ_{xy} у вершины трещины, для случая $H/l=\infty$, при приближении к границе $H/l=0,5$ появляется зона концентрации растягивающих напряжений σ_{xx} (фиг. 2) у границы полу平面 под серединой трещины, а также зоны концентрации сжимающих напряжений у границы тела на участке, отвечающем концевой зоне трещины.



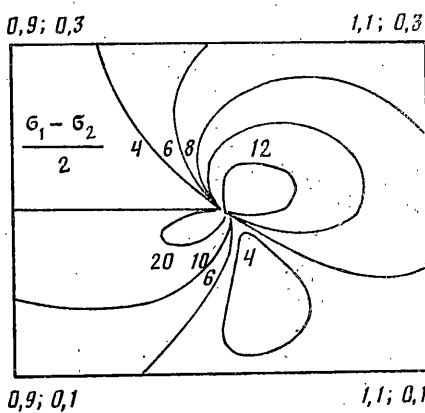
фиг. 13.



фиг. 14



фиг. 15



фиг. 16

2. Сравнивая поведение напряжений σ_{xx} , σ_{yy} вблизи конца трещины для случаев (а) и (в) и главные напряжения σ_1 и σ_2 при этих же значениях параметров, можно заметить, что в общих чертах изолинии напряжений σ_1 (фиг. 12) вдали от границы повторяют напряжения σ_{yy} (фиг. 14), в то время как при приближении к границе (случай (в)) они σ_1 (фиг. 5) повторяют характер поведения σ_{xx} (фиг. 8).

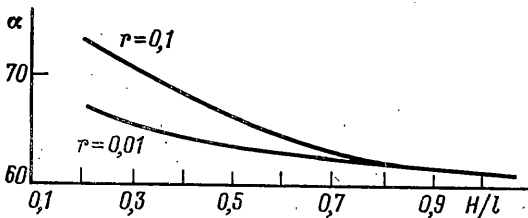
3. Для удаленной от границы трещины (а) область равновесных состояний имеет место при малых углах относительно плоскости трещины, а σ_1 , σ_2 максимально отличаются при углах порядка $\sim 60-90^\circ$. При приближении к границе (в) картина становится обратной, т. е. равновесное состояние достигается при углах $60-90^\circ$, а максимальная разность главных напряжений при углах $\sim 0^\circ$.

4. С увеличением l/H угол α_m , отвечающий $\max \sigma_{yy} = \sigma_{yy}^m$, а также острота максимума функции $\sigma_{yy}(\alpha)$ возрастает и при $H/l=0.2$ α_m достигает $80-90^\circ$. При этом, чем меньше r/l , тем ниже значение α_m (фиг. 17).

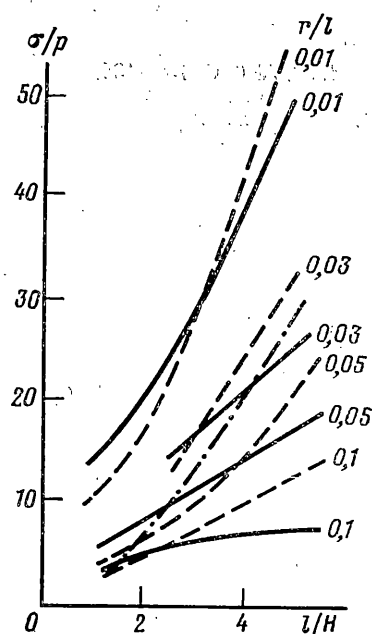
5. Максимумы сдвиговых напряжений при увеличении l/H смешаются от $\pm 90^\circ$ ($l/H=1$) (фиг. 10) в сторону тупых углов и при $l/H=5$ они располагаются в области углов $\sim 130^\circ$ (фиг. 16) и 5° ; в секторе углов $|\alpha| < 90^\circ$ абсолютные значения касательных напряжений в 2,5–3 раза меньше значений главных нормальных напряжений.

Из анализа эпюр напряжений следует, что максимальные значения растягивающих напряжений в образующихся зонах их концентрации,

а именно значения σ_{xx} , σ_{yy} и σ_m могут по разному соотноситься друг с другом, что обуславливает возможность перехода от одного механизма разрушения к другому. Например, на фиг. 18 показаны зависимости σ_{xx} (штриховая линия), σ_{yy} (сплошная линия) в концевой области трещины и σ_m (штрихпунктирная линия) напряжение на границе в середине под трещиной, от l/H при $r=0,05l$ ($r=1$ мм, $l=10$ мм), из которого видно, что при $l \leq 2,5H$ доминирует σ_{yy} , а при $l > 2,5H$ доминирует σ_m . В случае, когда акты микроразрушения происходят в концевой зоне макротрещины по площадкам, перпендикулярным направлению действия σ_{yy} , радиус-вектор, соединяющий эти площадки с вершиной базовой трещины, составляет с осью x острый угол, который по мере увеличения l или уменьшения H приближается к 90° в соответствии с тем, как это имеет место в действительности. При достаточно больших отношениях l/H на-



Фиг. 17



Фиг. 18

ряду с процессом в концевой зоне начинает развиваться растрескивание у поверхности тела. При этом процесс растрескивания как в концевой зоне, так и у поверхности тела происходит по механизму отрыва, но в направлении перпендикулярном действию напряжений σ_{xx} .

При количественном анализе возможности реализации указанных механизмов необходимо учитывать анизотропию критических значений — напряжений отрыва, обусловленных анизотропией структурных элементов, по границам которых соответствующий отрыв происходит. Например [11], в низколегированной стали со структурным элементом (включение MnS) в виде эллипсоида $17 \times 10 \times 3$ мкм и макроскопическим пределом текучести 420–460 МПа, экспериментально установленные значения критических напряжений отрыва по границе матрица-включение по площадкам вдоль оси x составляют 750–850 МПа, а вдоль оси y 1100–1200 МПа, т. е. коэффициент анизотропии достигает 30–40%. На эти значения может влиять водород, проникающий в металлы при его наводороживании. Так, по данным [6], это влияние может достигать 50%, причем указанное влияние зависит от тонкой структуры границы матрица-включение. Оно проявляется в полной мере при наличии на границе сегрегаций примесей. Таким образом, критические значения могут находиться в достаточно широком диапазоне от 400–500 МПа до 1000–1200 МПа. Как видно из проведенных выше расчетов эти значения в практически важной области параметров $l/H = 1 \div 10$, $r/l = 0,01 \div 0,1$ могут достигаться при давлениях водорода в исходной трещине $P \approx 100 \div 1000$ атм, которые имеют место в действительности, например, в результате наводороживания стального оборудования при его эксплуатации в сероводородсодержащих нефтегазовых средах.

СПИСОК ЛИТЕРАТУРЫ

- Думанский А. В., Ишлинский А. Ю. О закономерностях растрескивания коры деревьев // Докл. АН СССР. 1952. Т. 84. № 1. С. 161–164.
- Гольдштейн Р. В., Осиненко Н. М. Разрушение и формирование структуры // Докл. АН СССР. 1978. Т. 240. № 4. С. 829–832.
- Гольдштейн Р. В., Капцов А. В. Формирование структур разрушения слабо взаимодействующих трещин // Изв. АН СССР. МТТ. 1982. № 4. С. 173–182.
- Разрушение. М.: Мир, 1976. Т. 7. Ч. I. 634 с.
- Гольдштейн Р. В., Зазовский А. Ф., Павловский Б. Р. Развитие дискообразного расслоения в стальном листе под действием растяжения и наводороживания // Физ.-хим. механика материалов. 1985. Т. 21. № 5. С. 100–105.

6. Beremin F. M. Cavity formation from inclusions in ductile fracture of A508 stell // Met. trans. Ser. A 1981. V. 12. № 5. P. 723–731.
7. Pöpperling R., Schwenk W., Venkateswarlu J. Wasserstoffinduzierte Spanningsriss Korrosion von Stählen durch dynamisch-plastische Beanspruchung in Promotor-freien Elektrolyt lösungen // Werkstoffe und korrosion. 1985. V. 36. N 9. S. 389–400.
8. Cinar A., Erdogan F. The crack and wedging problem for an orthotropic strip // Intern. J. Fract. 1983. V. 23. N 2. P. 83–102.
9. Морозова Т. М. Коэффициенты интенсивности напряжений для криволинейной трещины, расположенной вблизи границы полуплоскости // Изв. АН СССР. МТТ. 1986. № 6. С. 130–134.
10. Wnuk M. P. Podstawy mechaniki. Krakow: PEKANIA, 1977. 356 s.
11. Cialone H., Asaro R. J. Hydrogen assisted fracture of spheroidized plain carbon steels // Met. tran. Ser. A. 1981. V. 12. N 8. P. 1373–1387.

Москва

Поступила в редакцию
10.V.1988